



LÖSNINGSFÖRSLAG

Våg- och materiefysik för civilingenjörer

FY501G-0100

2018-03-14, kl. 14:15–19:15

1. Since the rope is fixed at both ends, then the phrase “second-harmonic standing wave pattern” describes the oscillation shown in Figure 16-20(b), where (see Eq. 16-65)

$$\lambda = L, \quad f = \frac{v}{L}.$$

(a) Comparing the given function with Eq. 16-60, we obtain $k = \pi/2$ and $\omega = 12\pi$ rad/s. Since $k = 2\pi/\lambda$, then

$$\frac{2\pi}{\lambda} = \frac{\pi}{2} \Rightarrow \lambda = 4.0 \text{ m} \Rightarrow L = 4.0 \text{ m}.$$

(b) Since $\omega = 2\pi f$, then $2\pi f = 12\pi$ rad/s, which yields

$$f = 6.0 \text{ Hz} \Rightarrow v = f\lambda = 24 \text{ m/s}.$$

(c) Using Eq. 16-26, we have $v = \sqrt{\tau/\mu} = 24 \text{ m/s}$, which leads to

$$\tau = \mu v^2 = \left(\frac{1.39 \text{ kg}}{4.0 \text{ m}} \right) (24 \text{ m/s})^2 = 200 \text{ N}$$

e

(d) With

$$f = \frac{3v}{2L} = \frac{3(24 \text{ m/s})}{2(4.0 \text{ m})} = 9.0 \text{ Hz}$$

the period is $T = 1/f = 0.11 \text{ s}$.

(d) Vågekvationen (16-45): $\frac{\partial^2 y}{\partial x^2} = \frac{1}{v^2} \frac{\partial^2 y}{\partial t^2}$

$$\frac{\partial^2 y}{\partial x^2} = \dots = -0.10 \cdot \frac{\pi^2}{4} \sin(\pi x/2) \cdot \sin(12\pi t),$$

$$\frac{\partial^2 y}{\partial t^2} = \dots = -0.10 \cdot 144 \pi^2 \sin(\pi x/2) \cdot \sin(12\pi t).$$

Så vi ser att $\frac{\partial^2 y}{\partial x^2} = K \cdot \frac{\partial^2 y}{\partial t^2}$, med $K = 4 \cdot 144$.

Om $K = \frac{1}{v^2}$ får vi $v = \frac{1}{\sqrt{K}} = 2 \cdot 12 = 24 \text{ m/s}$,

vilket stämmer med \sqrt{K} .

2.

- a) Grundtonens frekvens uppfyller $f = \frac{v}{4L} = \frac{343}{4 \cdot 0.035} = 2450$ Hz (17-41). Svar a): Grundtonens frekvens i hörselgången på en människa är ca $f = 2.5$ kHz.

b

- (*) The intensity is given by $I = P/4\pi r^2$ when the source is "point-like." Therefore, at $r = 4.20$ m,

$$I = \frac{3.00 \times 10^{-6} \text{ W}}{4\pi (4.20 \text{ m})^2} = 1.35 \times 10^{-8} \text{ W/m}^2.$$

c

- (*) The sound level there is

$$\beta = (10 \text{ dB}) \log \left(\frac{1.35 \times 10^{-8} \text{ W/m}^2}{1.00 \times 10^{-12} \text{ W/m}^2} \right) = 41.3 \text{ dB}.$$

At the beginning of the exercises and problems section in the textbook, we are told to assume $v_{\text{sound}} = 343$ m/s unless told otherwise. The second harmonic of pipe A is found from Eq. 17-39 with $n = 2$ and $L = L_A$, and the 5th harmonic of pipe B is found from Eq. 17-41 with $n = 5$ and $L = L_B$. Since these frequencies are equal, we have

$$\frac{2v_{\text{sound}}}{2L_A} = \frac{5v_{\text{sound}}}{4L_B} \Rightarrow L_B = \frac{5}{4}L_A.$$

d

- (*) Since the fundamental frequency for pipe A is 425 Hz, we immediately know that the second harmonic has $f = 2(425 \text{ Hz}) = 850$ Hz. Using this, Eq. 17-39 gives

$$L_A = (2)(343 \text{ m/s})/2(850 \text{ s}^{-1}) = 0.4035 \text{ m} \approx 40.4 \text{ cm}.$$

e

- (*) The length of pipe B is $L_B = \frac{5}{4}L_A = \frac{5}{4}(0.4035 \text{ m}) = 0.504 \text{ m} = 50.4 \text{ cm}.$

3.

- a) Utgå från (28-2). Storleken av kraften ges då av $F = |q|vB \sin \phi$. Speciellt gäller då \vec{v} och \vec{B} är vinkelräta att $\phi = 90^\circ$, $\sin \phi = 1$ så att vi får den sökta formeln.
- b) Utgå nu istället från (28-26).
- c) Ampere-Maxwells lag (32-11) $\oint \vec{B} \cdot d\vec{s} = \mu_0 \epsilon_0 \frac{d\Phi_E}{dt} + \mu_0 i_{\text{enc}}$, övergår då inga tidsberoende elektriska fält finns i närheten, till Amperes lag (29-14)

$$\oint \vec{B} \cdot d\vec{s} = B \int ds = B\pi 2R = \mu_0 i_{\text{enc}} = \mu_0 I \Rightarrow B = \frac{\mu_0 I}{2\pi R},$$

där vi valt en cirkel med radien R runt ledaren med strömmen i som integrationsväg. Magnetfältet är parallellt med cirkeln varför $\vec{B} \cdot d\vec{s} = Bds$ (se figur 29-4).

d)

$$|\epsilon| = \frac{d\Phi}{dt} \simeq \frac{\Delta\Phi}{\Delta t} = \frac{B\Delta A}{\Delta t} = \frac{B\ell\Delta s}{\Delta t} = \frac{B\ell v\Delta t}{\Delta t} = B\ell v.$$

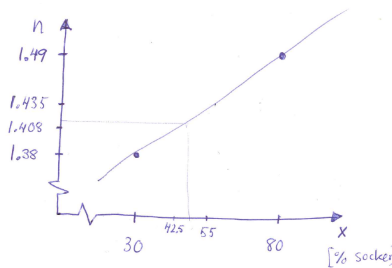
- e) Vi väljer Maxwells tredje ekvation $\oint \vec{E} \cdot d\vec{s} = -\frac{d\Phi_B}{dt}$ (Faraday's law) då denna innehåller en tidsderivata av ett magnetiskt flöde i höger led, samt en spänning $[Eds] = [E][ds] = \frac{V}{m}m = V$ i vänster led. För det (homogena) elektriska

fältet i den elektriska ledaren (figuren till vänster i uppgiften) av längden ℓ gäller (vi inför en x -axel på vanligt sätt)

$$\oint \vec{E} \cdot d\vec{s} = \int_0^\ell E_x dx = E_x \ell = \frac{\varepsilon}{\ell} \ell = \varepsilon = -\frac{d\Phi_B}{dt} \Rightarrow |\varepsilon| = \frac{d\Phi_B}{dt}.$$

4.

- a) En foton motsvarar energin $E = hf = hc/\lambda = 6.626 \cdot 10^{-34} \cdot 2.998 \cdot 10^8 / (650 \cdot 10^{-9}) = 3.056 \cdot 10^{-19}$ J. Om effekten för lasern är $P = 1.0$ [mW] = $1.0 \cdot 10^{-3}$ [J/s], betyder det att antalet fotoner är $N = \frac{P}{E} = \frac{1.0 \cdot 10^{-3} \text{ [J/s]}}{3.056 \cdot 10^{-19} \text{ [J]}} = 3.3 \cdot 10^{15}$ per sekund.
- b) Inuti en laser finns en stående ljusvåg, som sakta 'läcker' ut genom ena sidan, se tex figur 40-20. Om inte våglängden är den rätta, kan inte en stående våg passa in. Å andra sidan sätter (tex) Heisenbergs osäkerhetsrelationer begränsningar i hur exakt våglängden kan vara, dvs vilken spridning av närliggande våglängder som finns i laserljuset.
- c) Om vi betraktar laserljuset som en EM-våg blir enligt (33-32) kraften $F = \frac{IA}{c}$, där effekten är $P = IA = 1.0 \cdot 10^{-3}$ W, så vi får trycket $p = \frac{F}{A} = \frac{P}{Ac}$. Om nu arean för ljusstrålen ökat med en faktor $\frac{10.0 \text{ mm}^2}{1.0 \text{ mm}^2} = 10$, så minskar ljustrycket med en faktor 10.
- d) Det mänskliga ögat är känsligast för grönt ljus, se tex figur 33-2.
- e) Enligt Brännströms mätningar är $\theta_c = 45^\circ$ kritisk vinkel för totalreflektion, vilket enligt (33-45) ger $n = 1/\sin(45^\circ) = \sqrt{2} \approx 1.41$. Informationen om x %-iga sockerlösningar med brytningsindex $n(x)$ ges av följande skiss och grafiska lösning



Svar e): Sockerhalten var ca 47 %.

5.

- a) Storleken av kraften är $F = \frac{1}{4\pi\epsilon_0} \frac{e^2}{r_1^2} = \frac{1}{4\pi \cdot 8.854 \cdot 10^{-12}} \frac{(1.602 \cdot 10^{-19})^2}{(0.05292 \cdot 10^{-9})^2} = 8.236 \cdot 10^{-8}$ N, (22-1) kombinerat med (22-3). **Svar a):** Kraften mellan protonen och elektronen har storleken $8.236 \cdot 10^{-8}$ N.

- b) Enligt Newtons andra lag gäller $F = ma_c = mv^2/r_1$. Storleken av rörelsemängden är då $p = mv = \sqrt{r_1 F m} = e \sqrt{\frac{m}{4\pi\epsilon_0} \frac{1}{r_1}} = 1.993 \cdot 10^{-24} \text{ kgm/s}$, **Svar b)**: Rörelsemängden för elektronen är $1.993 \cdot 10^{-24} \text{ kgm/s}$.
- c) Storleken av rörelsemängdsmomentet är $pr_1 = e \sqrt{\frac{mr_1}{4\pi\epsilon_0}} = 1.993 \cdot 10^{-24} \cdot 0.05292 \cdot 10^{-9} = 1.054 \cdot 10^{-34} \text{ Js} = 1 \cdot \hbar$, **Svar c)**: Heltalet är 1.
- d) Enligt de Broglie gäller (38-17) $p = \frac{h}{\lambda} = \frac{h}{2\pi r_1} = \frac{h}{r_1}$, vilket stämmer med b) och c) ovan. **Svar d)**: Rörelsemängden för elektronen är $1.993 \cdot 10^{-24} \text{ kgm/s}$.
- e) Om farten är $v = p/m$ så passerar elektronen ett varv på tiden $t = s/v = 2\pi r_1 m/p$. Strömmen är antalet laddningar som passerar ett tvärsnitt av slingan per sekund dvs $i = \frac{e}{t} = \frac{ep}{2\pi r_1 m} = \frac{e^2}{\sqrt{16\pi^3 \epsilon_0 r_1^3 m}} = 1.054 \cdot 10^{-3} \text{ A}$. Nu ger (28-35) $\mu = NiA = 1 \cdot i \cdot \pi r_1^2 = \frac{e^2 \sqrt{r_1}}{\sqrt{16\pi \epsilon_0 m}} = 9.272 \cdot 10^{-24} \text{ Am}^2$. Jämför med $\mu_{orb} = \frac{e}{2m} \hbar = 9.273 \cdot 10^{-24} \text{ Am}^2$ (den sk Bohr magnetonen). **Alternativt** skriver vi om strömmen på formen $i = \frac{e}{t} = \frac{ep}{2\pi r_1 m} = \frac{emvr_1}{2\pi r_1^2 m} = \frac{e}{2m} \frac{L}{A}$, så att vi direkt ser att $\mu = iA = \frac{e}{2m} L$. **Svar e)**: Värdet på det magnetiska dipolmomentet för elektronen blir samma om vi beräknar det klassiskt.

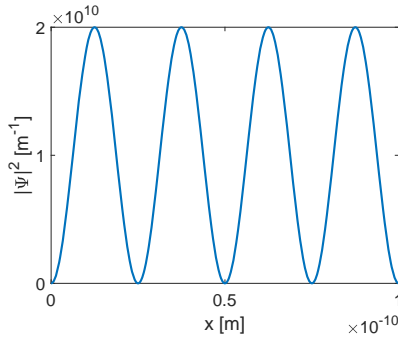
6.

- a) Om brunnen är väldigt djup kan vi approximera potentialen som en oändligt djup brunn, se tex figurerna 39-1 och 39-2. I brunnen, dvs för $0 < x < L$, gäller då den stationära Schrödingerekvationen (38-19) med $U = 0$

$$\frac{d^2\Psi}{dx^2} + \frac{8\pi^2 m_e}{h^2} E \Psi = 0.$$

Denna ekvation satisfieras av $\Psi(x) = \sqrt{\frac{2}{L}} \sin\left(\frac{n\pi x}{L}\right)$ om $E = \frac{h^2}{8m_e L^2} n^2$, n heltal, (39-4). Speciellt gäller att $\Psi(x \leq 0) = \Psi(x \geq L) = 0$.

- b) Enligt (39-12) gäller för $n = 4$ att $|\Psi(x)|^2 = A^2 \sin^2\left(\frac{4\pi x}{L}\right)$, som är noll för $x = 0, \frac{L}{4}, \frac{L}{2}, \frac{3L}{4}, L$ och för övrigt positivt i brunnen. Värdet på konstanten $A^2 = \frac{2}{L}$ (39-17) kan erhållas genom integration. Så vi har att skissa funktionen $|\Psi(x)|^2 = 2 \cdot 10^{10} \sin^2(4\pi \cdot 10^{10} \cdot x)$ med de fem nollställena $x = 0, 0.25 \cdot 10^{-10}, 0.50 \cdot 10^{-10}, 0.75 \cdot 10^{-10}, 1.0 \cdot 10^{-10} \text{ m}$



- c) Vi provar att sätta in Ψ i Schrödingerekvationen med den givna potentialen [ja, den här formen är ekvivalent med (38-19)]

$$-\frac{\hbar^2}{2m_e} \frac{d^2\Psi}{dx^2} + \frac{1}{2}m_e\omega^2 x^2 \Psi = E\Psi,$$

dvs första termen blir

$$-\frac{\hbar^2}{2m_e} \left(\frac{m_e\omega}{\pi\hbar}\right)^{1/4} \frac{d}{dx} \left(-\frac{m_e\omega}{2\hbar} 2xe^{-\frac{m_e\omega x^2}{2\hbar}}\right)$$

$$= -\frac{\hbar^2}{2m_e} \left(\frac{m_e\omega}{\pi\hbar}\right)^{1/4} \frac{m_e\omega}{\hbar} \left(-e^{-\frac{m_e\omega x^2}{2\hbar}} + \frac{m_e\omega}{\hbar} x^2 e^{-\frac{m_e\omega x^2}{2\hbar}}\right) = \left(\frac{\hbar\omega}{2} - \frac{1}{2}m_e\omega^2 x^2\right) \Psi,$$

så att

$$\left(\frac{\hbar\omega}{2} - \frac{1}{2}m_e\omega^2 x^2\right) \Psi + \frac{1}{2}m_e\omega^2 x^2 \Psi = \frac{\hbar\omega}{2} \Psi = E\Psi.$$

Energin är alltså $E = \frac{\hbar\omega}{2} = \frac{1.055 \cdot 10^{-34} \cdot 1.2 \cdot 10^{16}}{2} = 6.33 \cdot 10^{-19} \text{ J}$, vilket motsvarar några eV.

- d) Sannolikhetstätheten för grundtillståndet ovan ges av $|\Psi(x)|^2 = \left(\frac{m_e\omega}{\pi\hbar}\right)^{1/2} e^{-\frac{m_e\omega x^2}{\hbar}}$. Vi kan approximera sannolikheten för att finna elektronen i det lilla intervallet (en plot bekräftar att $|\Psi(x)|^2$ nästan är konstant i området) enligt

$$P = \int_{0.49 \cdot 10^{-10}}^{0.51 \cdot 10^{-10}} |\Psi(x)|^2 dx \approx |\Psi(0.50 \cdot 10^{-10})|^2 \cdot 0.02 \cdot 10^{-10}$$

$$= \left(\frac{m_e\omega}{\pi\hbar}\right)^{1/2} e^{-\frac{m_e\omega(0.50 \cdot 10^{-10})^2}{\hbar}} \cdot 0.02 \cdot 10^{-10} = \dots = 0.00886 \simeq 1\%.$$

Det är ca 1% sannolikhet att detektera elektronen i området vid en mätning.

- e) Om en löser den stationära Schrödingerekvationen (SE) för en endimensionell ändlig brunn får en ensamma (odegenererade) energinivåer. Två närliggande brunnar leder till närliggande energinivåer som uppträder i par. N st närliggande brunnar leder till N -faldigt närliggande energinivåer. När N blir stort, som i en kristallstruktur, får vi då band av energinivåer. Detta har vi visat bilder på under kursen.